Rapport Technique : Recalibrage de l'Impédance Immunitaire et Restauration de la Résonance Neuro-Végétative.

- Interprétation Métrologique : Le système a intégré l'impulsion vibratoire. Il est passé d'un état d'équilibre "froid" (résilience basse, immunité faible) à un état d'équilibre "chaud" (résilience haute, immunité active, flexibilité neuro-végétative).

Présentation par le Dr Samuel Debard

« Analysons les données métrologiques issues de la séquence triphasique appliquée à une patiente née en 1971, présentant un profil initial de fragmentation énergétique avec déficit immunitaire structurel.

1. État Initial (T0) : Dysmétrie Immunitaire et Rigidité Neuro-Végétative L'analyse vectorielle des neuf systèmes physiologiques révèle une hétérogénéité marquée, dominée par un effondrement du potentiel de défense.

- Déficit Critique : Le Système Immunitaire affiche un potentiel énergétique bas de 3,47 u.a. avec une cohérence structurelle réduite à 79%. C'est le point de rupture du système.
- Dissipation Énergétique : Le Système Musculo-squelettique est également en hypo-fonction (4,77 u.a., 76%), tandis que le Système Respiratoire présente un potentiel élevé (6,14 u.a.), suggérant une compensation périphérique.
- État Neuro-Végétatif : Bien que l'équilibre Sympathique/ Parasympathique soit mathématiquement parfait (1,19 / 1,22), il masque une résilience critique à 44,41. Le système est en équilibre statique, rigide, sans capacité d'adaptation dynamique. La réserve d'énergie est haute (94,55%), mais non mobilisable faute de résilience.
-

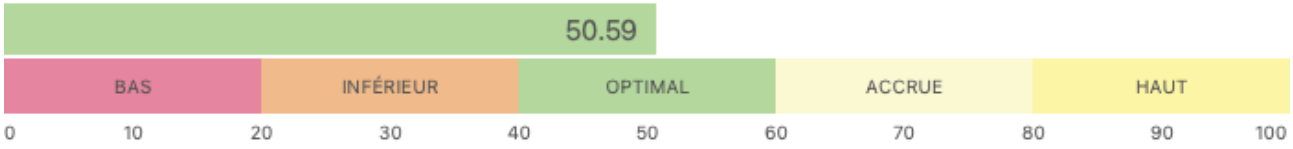
2. Phase d'Exposition Vibratoire (T1) : Activation par Séquence Fréquentielle Ciblée (Fa / Do#) L'application d'une séquence



STRESS: Augmenté



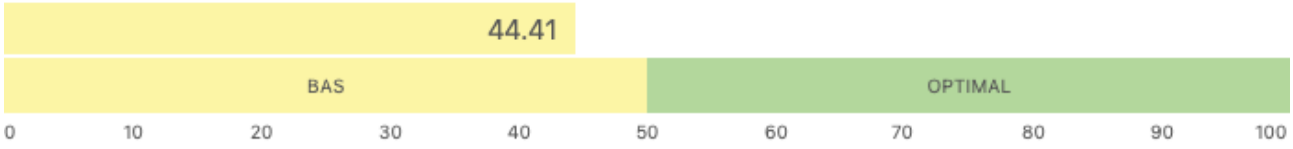
ÉNERGIE: Optimal



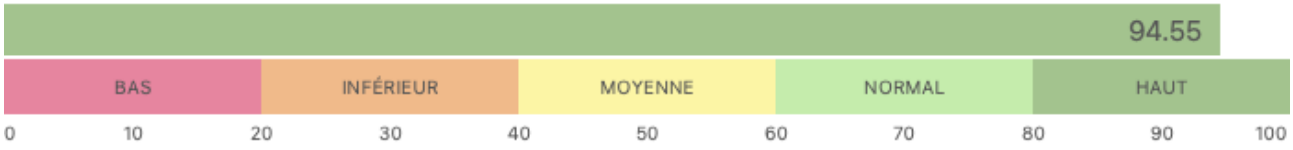
ÉQUILIBRE SYMPATHIQUE/PARASYMPATHIQUE, JOULES (×10⁻²)



RÉSILIENCE: Bas

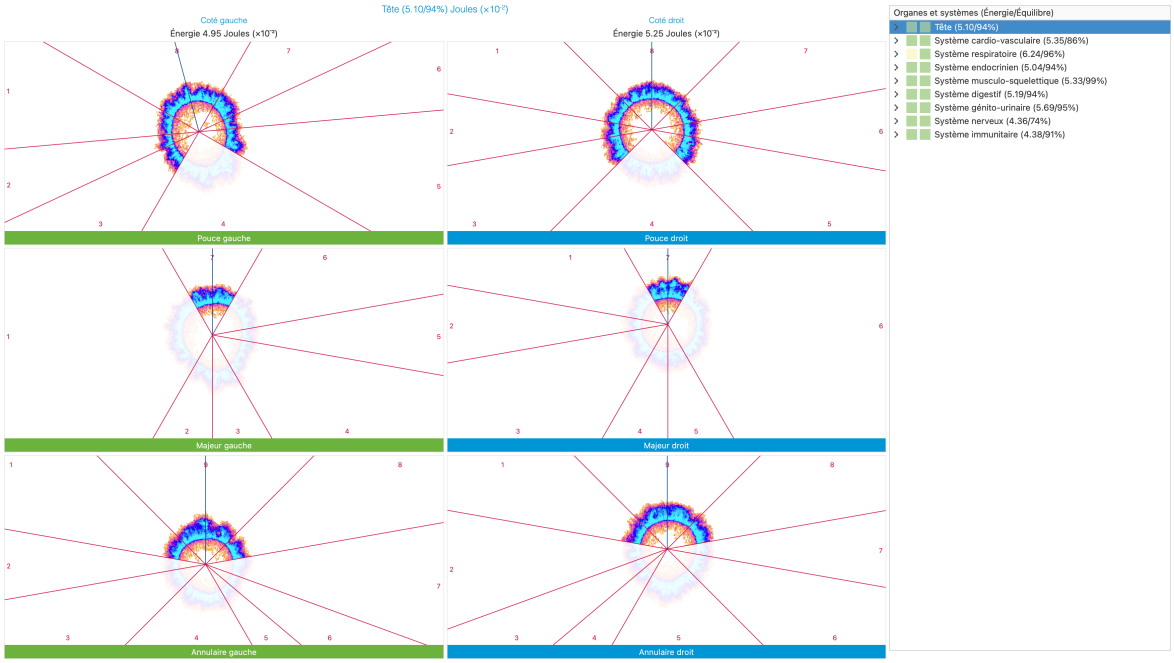


RÉSERVE D'ÉNERGIE: Haut



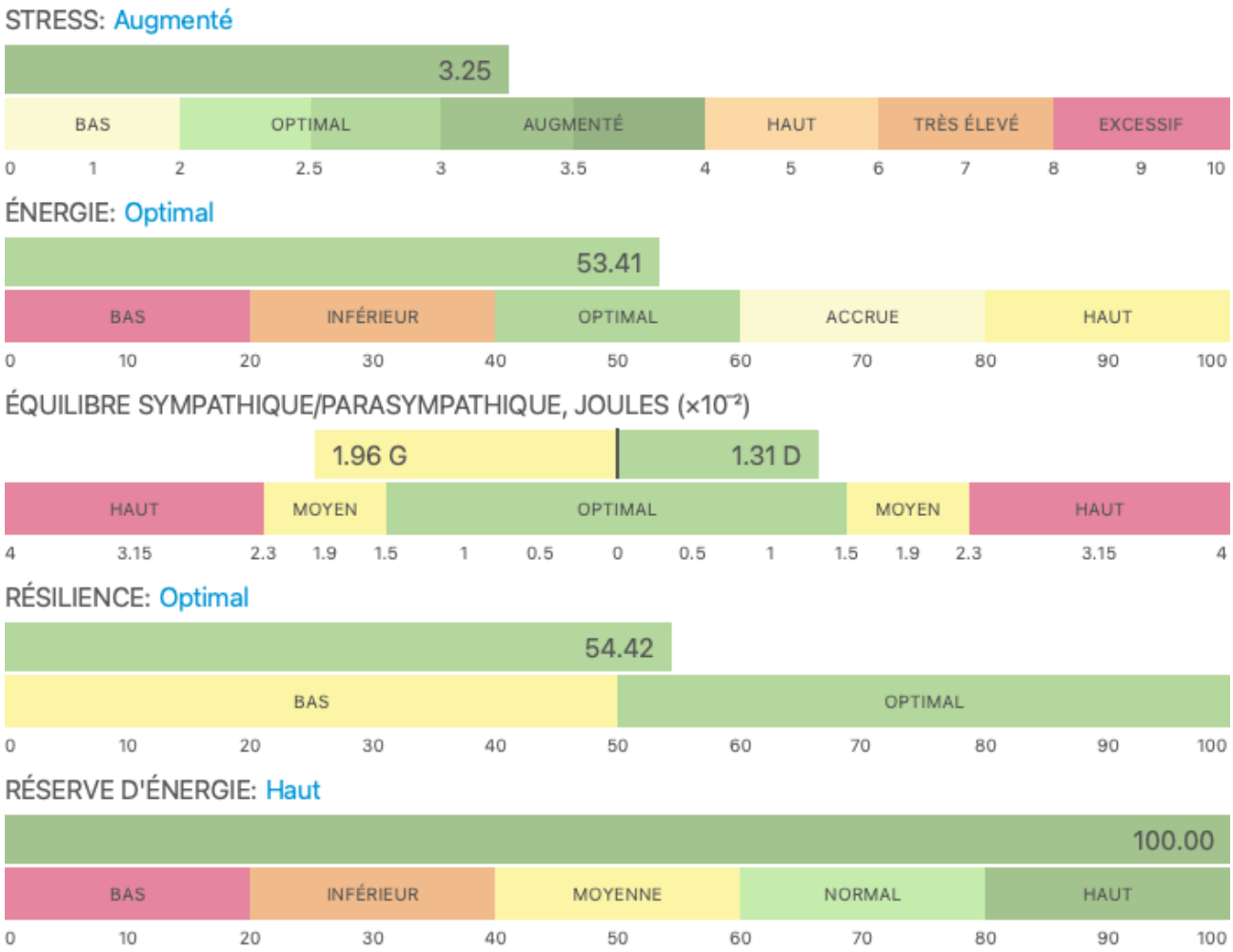
vibratoire spécifique (notes Fa et Do#, durée 90s) sur le locus immunitaire déclenche une réponse systémique immédiate.

- Correction d'Impédance Immunitaire : Le potentiel du système immunitaire bondit de 3,47 à 4,38 u.a., avec une restauration de la cohérence à 91%. La barrière de potentiel est franchie.
- Homogénéisation Secondaire : Par effet de résonance sympathique, les autres systèmes se recalibrent :
  - Le Musculo-squelettique remonte à 5,33 u.a.
  - Le Cardiovasculaire s'ajuste à 5,35 u.a.
  - La Tête (Système Nerveux Central) passe à 5,10 u.a.
- Réponse Neuro-Végétative Dynamique : On observe une mobilisation massive de l'axe orthosympathique, qui passe de 1,19 à 1,96 u.a. (zone d'activation jaune). Parallèlement, la résilience augmente de +22% (44,41 → 54,42). Le système sort de sa rigidité statique pour entrer en mode "action/réparation". Le stress reste stable (3,25), indiquant que cette



activation n'est pas perçue comme une agression, mais comme une mobilisation physiologique.

3. Phase de Dissipation Interne Différée (T2) : Établissement d'un État de Cohérence Optimale L'arrêt du stimulus permet

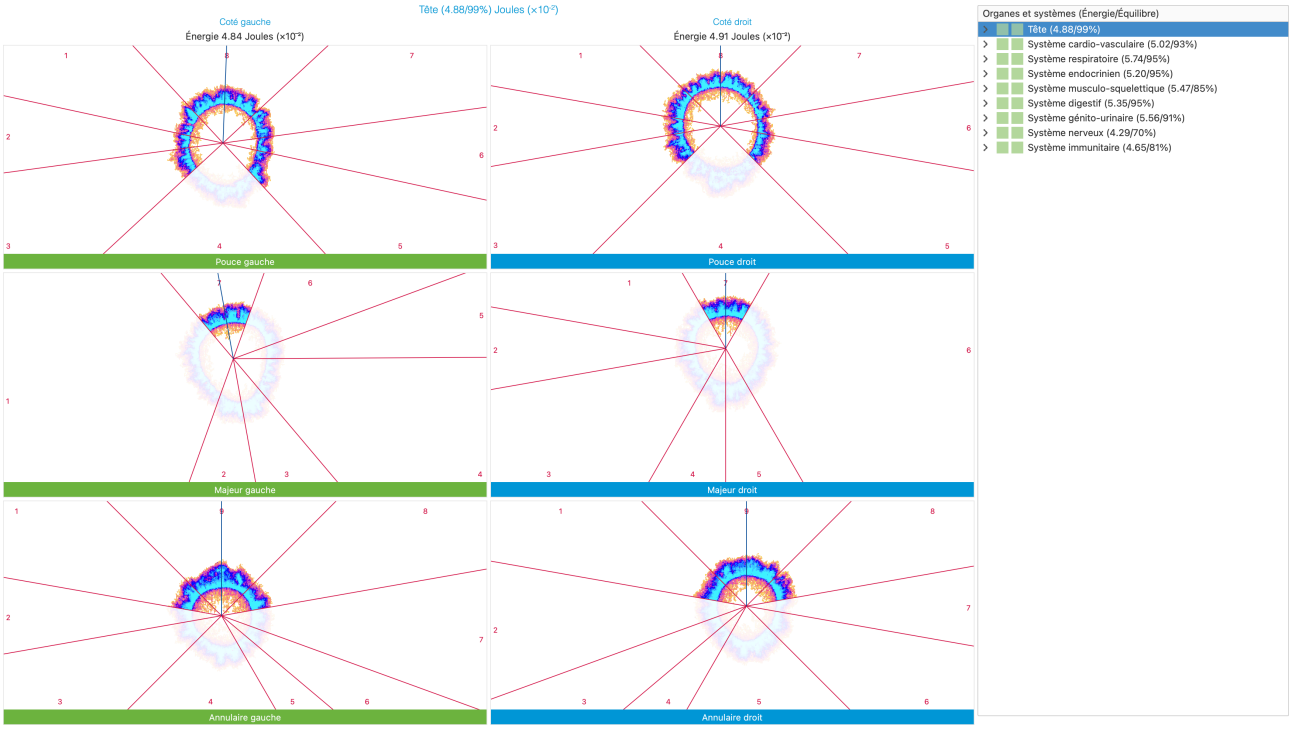


l'intégration métabolique et le retour à un nouvel point d'équilibre dynamique.

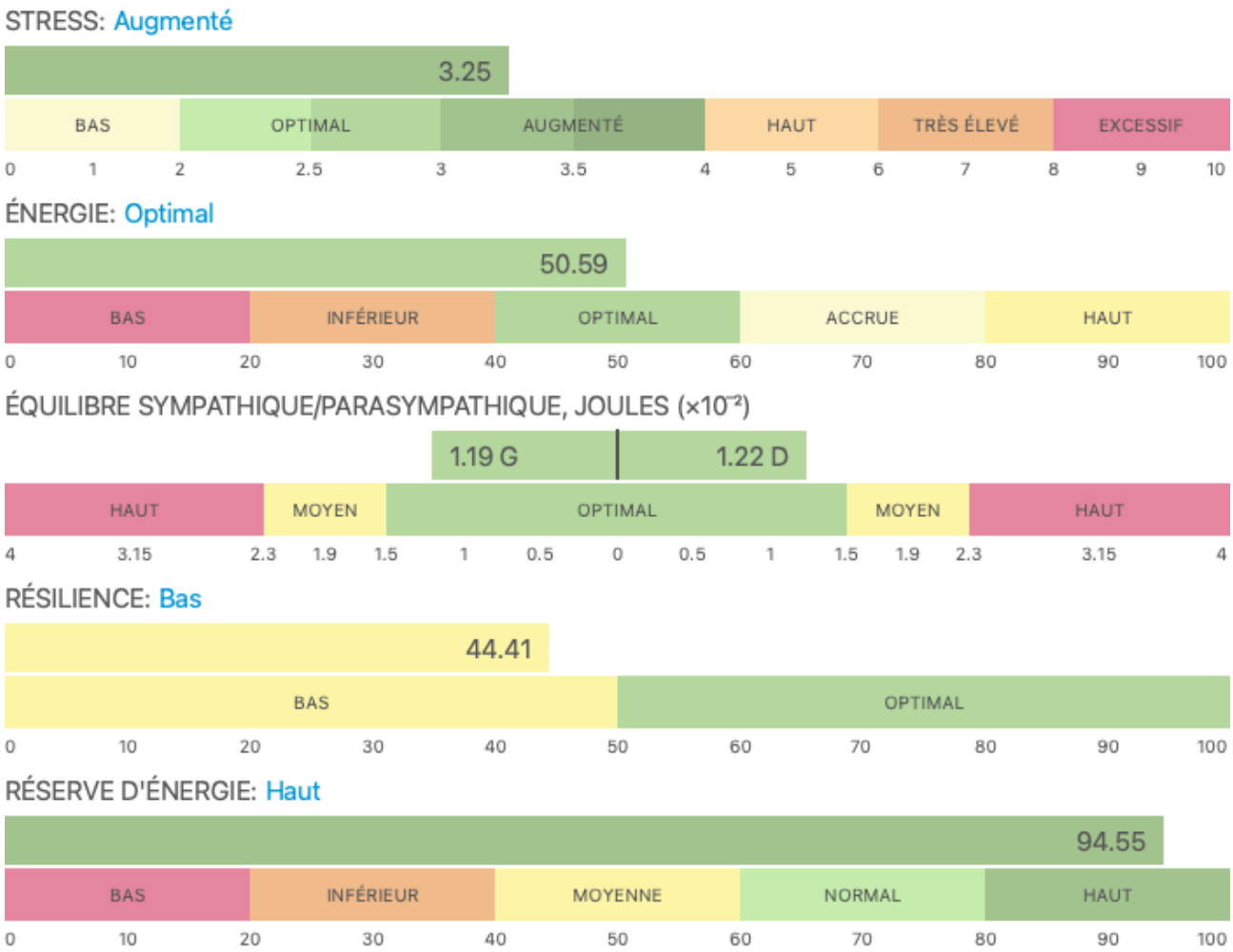
- Normalisation Spectrale Globale : L'ensemble des vecteurs organiques converge vers une plage de fonctionnement homogène, comprise entre 4,29 u.a. (Nerveux) et 5,74 u.a. (Respiratoire).
    - Le Système Immunitaire se stabilise à un niveau fonctionnel de 4,65 u.a.
    - Le Système Génito-urinaire s'ajuste à 5,56 u.a.
    - L'écart-type global est minimisé, signant la fin de la fragmentation énergétique initiale.
- Restauration de l'Homéostasie Neuro-Végétative :
    - L'Orthosympathique redescend à 1,07 u.a., se réalignant parfaitement avec le Parasympathique (1,21 u.a.). Nous retrouvons un équilibre dynamique optimal, distinct de la rigidité initiale.
    - Maintien des Paramètres de Force : Contrairement à un retour à l'état basal, la résilience reste élevée à 50,69

(seuil optimal) et la réserve d'énergie est maintenue. Le stress, légèrement remonté à 3,30, reste dans une fenêtre de tolérance physiologique.

- Interprétation Métrologique : Le système a intégré l'impulsion vibratoire. Il est passé d'un état d'équilibre "froid" (résilience basse, immunité faible) à un état d'équilibre "chaud" (résilience haute, immunité active, flexibilité neuro-végétative).



Conclusion Technique Cette séquence valide l'efficacité de la modulation fréquentielle ciblée (Fa/Do#) sur le recalibrage immunitaire. Le protocole a permis de transformer un état de rigidité défensive (équilibre statique à basse résilience) en un état de compétence adaptative (équilibre dynamique à haute résilience).



La mesure clé de succès n'est pas seulement la remontée du vecteur immunitaire (+26%), mais le maintien durable de la résilience (>50) post-dissipation.

Cela démontre que la vibration a agi comme un catalyseur de plasticité neuro-végétative, permettant au système de réorganiser sa topologie énergétique vers une cohérence globale supérieure. »